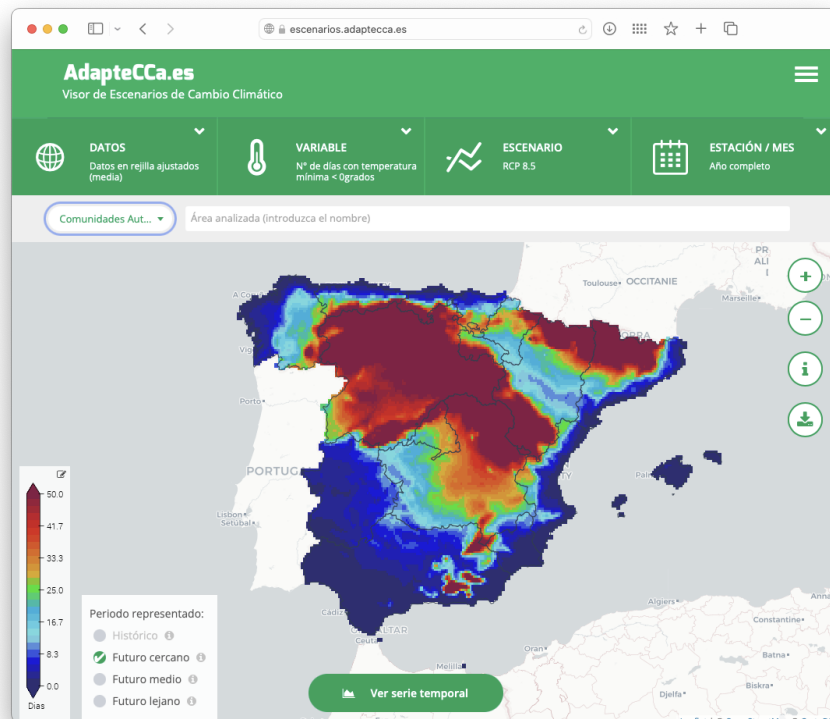


VISOR DE ESCENARIOS DE CAMBIO CLIMÁTICO

DESCRIPCIÓN DE LOS DATOS



Versión 6.0

7 de junio de 2024

ÍNDICE

| | |
|--|----------|
| Resumen Ejecutivo | 3 |
| Datos Disponibles | 5 |
| Fuentes de datos | 5 |
| VARIABLES e índices | 6 |
| Escenarios | 6 |
| Agregación temporal (valores anuales, estacionales y mensuales) | 7 |
| Períodos y señal de cambio climático | 7 |
| Cobertura geográfica | 7 |
| Tablas | 8 |

Resumen Ejecutivo

El [Visor de Escenarios de Cambio Climático](#) desarrollado en el marco del PNACC (Plan Nacional de Adaptación al Cambio Climático), está orientado a facilitar la consulta de proyecciones regionalizadas de cambio climático para España, realizadas a partir de las proyecciones globales del Quinto Informe de Evaluación (AR5) del IPCC (Grupo Intergubernamental de Expertos sobre Cambio Climático) en el marco de la iniciativa Escenarios-PNACC 2017 (una descripción completa de esta iniciativa, que sirve de información de contexto para este documento, se proporciona en “[Escenarios-PNACC 2017: Nueva colección de escenarios de cambio climático regionalizados del Plan Nacional de Adaptación al Cambio Climático \(PNACC\)](#)”).

Esta iniciativa integra los resultados de distintos proyectos de regionalización dinámica (EURO-CORDEX) y estadística (VALUE y otras iniciativas nacionales). Por una parte, EURO-CORDEX es la rama Europea de la iniciativa internacional coordinada CORDEX para la regionalización dinámica de proyecciones globales de cambio climático. Aunque existe una nueva generación de proyecciones globales que ha sido utilizada en el Sexto Informe de Evaluación (AR6) del IPCC, las proyecciones regionales de CORDEX (forzadas con los modelos globales del AR5) constituye el mejor conjunto de proyecciones regionales disponibles, habiendo sido utilizado para el análisis regional del cambio climático del AR6 (en particular en el [Atlas](#), que resume la información de cambios regionales). Por otra parte, las actividades realizadas en la iniciativa internacional VALUE, junto con las proyecciones nacionales desarrolladas por la Agencia Estatal de Meteorología (AEMET) y por el Grupo de Meteorología de Santander (CSIC – Universidad de Cantabria) proporcionan proyecciones locales en una red de estaciones de AEMET donde se dispone de registros históricos.

Este documento contiene una descripción de los datos disponibles en el Visor:

- **Proyecciones en rejilla**, provenientes de las regionalizaciones dinámicas generadas en la iniciativa internacional EURO-CORDEX con modelos regionales del clima, que proporcionan datos en una rejilla de aproximadamente 10 km de resolución. Se proporcionan los valores ajustados a una rejilla de 5 km de resolución utilizando una técnica de ajuste de sesgo (ver más adelante para más detalles).
- **Proyecciones puntuales**, obtenidas aplicando técnicas de regionalización estadística a los datos de una serie de localidades de la red de estaciones de AEMET.

Adicionalmente, se consideran dos fuentes de **datos observacionales** que son utilizadas como referencia:

- Datos en rejilla ROCIO_IBEB (observaciones de estaciones de AEMET interpoladas mediante interpolación óptima a 5 km) utilizada para el ajuste de sesgos de los modelos de EURO-CORDEX.
- Datos puntuales de la red de estaciones de AEMET utilizada para las técnicas de regionalización estadística.

De forma complementaria a las variables proporcionadas por las fuentes de datos anteriores (**temperaturas y precipitación –para los datos puntuales y los datos en rejilla ajustados–**), el visor considera un conjunto de índices derivados ampliamente utilizados en diferentes sectores de impacto (véase Tabla 2).

Nótese que en [una versión anterior del visor](#) se dispone de los datos de EURO-CORDEX originales y ajustados mediante una metodología de corrección de sesgos previa, así como datos originales de EURO-CORDEX para variables de **velocidad y dirección del viento y humedad relativa** (estos datos no están disponibles para las rejillas observacionales y por tanto no hay versiones corregidas). También recoge datos observacionales y proyecciones originales de EURO-CORDEX para el Principado de Andorra.

En los siguientes apartados se describen con detalle las diferentes fuentes de datos consideradas así como las opciones disponibles para cada una de ellas.

Datos Disponibles

Fuentes de datos

- **EURO-CORDEX (DATOS EN REJILLA AJUSTADOS):** EURO-CORDEX es la rama europea de la iniciativa internacional CORDEX (*Coordinated Regional Climate Downscaling Experiment*; <https://cordex.org>), que coordina la producción de escenarios regionales de Cambio Climático en todo el planeta utilizando modelos regionales del clima. Aunque la resolución estándar de CORDEX son 44 km, en el caso de EURO-CORDEX se han realizado proyecciones a mayor resolución (11 km) tal como se describe en <http://www.euro-cordex.net> (ver [Jacob y otros, 2020](#)). En este visor se han incluido las proyecciones para los escenarios disponibles RCP4.5 y RCP8.5, considerando los valores ajustados a la rejilla observacional ROCIO_IBEB de 5 km, aplicando el método de ajuste de sesgos ISIMIP3, usado en Sexto informe del IPCC (AR6).

Los **datos ajustados** alivian los problemas derivados de los sesgos de los modelos regionales del clima, que pueden diferir sistemáticamente de las observaciones. El ajuste se realiza calibrando las salidas de los modelos con las observaciones reales en un período histórico. Los datos ajustados son por tanto más adecuados para calcular índices que dependen de umbrales absolutos, como, por ejemplo, los días de helada, es decir, aquellos con temperatura mínima menor de cero grados. Las recomendaciones sobre el uso de datos ajustados aconsejan que se proporcionen tanto los valores originales como los ajustados (ver [Casanueva y otros 2020](#)). Por ello, se ha mantenido [una versión previa del visor](#) que incluye los datos originales (y también los ajustados con la versión previa del método de ajuste), para que se puedan comparar los resultados y analizar la incertidumbre debida a este factor para cada uno de los índices.

- **Proyecciones regionales elaboradas por la Agencia Estatal de Meteorología (AEMET) (DATOS EN ESTACIONES)** para el Plan Nacional de Adaptación al Cambio Climático, mediante distintas técnicas de regionalización estadística (*Análogos y SDSM*, ver guía de Escenarios-PNACC 2017).
- **Datos observacionales puntuales** de la red de estaciones de AEMET (OBSERVACIONES: AEMET-OBS).
- **La rejilla de datos observacionales [ROCIO_IBEB](#)**, desarrollada en AEMET. Esta rejilla tiene una resolución de 5 km, e incorpora datos de la totalidad de estaciones de observación de AEMET, interpolados mediante análisis de interpolación óptima. Al no

tratarse de una rejilla regular, se ha hecho una interpolación sobre malla regular de 5 km que se puede consultar desde el visor.

En este visor no se muestran todas las proyecciones disponibles en los Escenarios-PNACC 2017, sino un subconjunto homogéneo que proporciona información tanto en rejilla como puntual, tratando así de mantener la coherencia de las proyecciones (véase Tabla 1). Por ello, en esta versión se incluye información únicamente de los escenarios RCP4.5 y RCP8.5. La Guía de Escenarios-PNACC 2017 muestra una información detallada de todos los datos disponibles así como los mecanismos de acceso (aparte del visor) a estas fuentes de información.

Variables e índices

En este visor el término variable se utiliza tanto para referirse a **magnitudes físicas** típicas de la climatología (temperatura y precipitación en este caso), como para los **índices derivados** de estas. La información sobre la variables disponibles, tanto para las proyecciones en rejilla ajustadas (EURO-CORDEX con ajuste de sesgos) como para los datos observacionales (puntuales y en rejilla ROCIO_IBEB), se recoge en la Tabla 2 de este documento. Nótese que en la versión anterior del visor también se incluyen las variables de humedad relativa y viento en los datos originales de las proyecciones en rejilla (EURO-CORDEX no ajustado). Sin embargo, estas variables no están presentes en las proyecciones en rejilla ajustadas, ya que no están disponibles en los datos observacionales y el proceso de ajuste se basa en dichas observaciones.

Escenarios

Al diseñar la generación de escenarios de Cambio Climático para el Quinto Informe de Evaluación (AR5) del IPCC (Grupo Intergubernamental de Expertos sobre Cambio Climático) se definieron un conjunto de escenarios futuros de concentraciones de gases de efecto invernadero llamados RCP (*Representative Concentration Pathways*). En este visor se muestran datos de los escenarios RCP4.5 y RCP8.5, que se corresponden con emisiones intermedias y altas para el siglo XXI, respectivamente. Para estos escenarios se consideran tres períodos de análisis futuros: cercano (2011-2040), medio (2041-2070) y lejano (2071-2100).

El escenario llamado histórico proporciona simulaciones de los modelos en un periodo de referencia climático 1971-2000, para el cual también se dispone de datos observacionales (en estaciones y en rejilla).

Agregación temporal (valores anuales, estacionales y mensuales)

Las variables e índices se han calculado tanto a nivel anual como estacional y mensual. Las estaciones se han definido como: invierno (diciembre, enero y febrero), primavera (marzo, abril y mayo), verano (junio, julio y agosto), y otoño (septiembre, octubre y noviembre). El visor permite filtrar el análisis de la información para considerar un mes concreto, una única estación del año o el año completo, y los datos que se muestran corresponden al valor agregado (media, valor acumulado, mínimo o máximo, según corresponda) para el período climático concreto que se esté analizando (30 años).

Períodos y señal de cambio climático

El visor permite analizar los datos considerando un período histórico (1971-2000) y tres futuros (2010-2040, 2041-2070 y 2071-2100). En estos cuatro períodos se puede visualizar el valor original de la climatología de la variable (valor agregado correspondiente al período). **Para los períodos futuros también se puede analizar la anomalía respecto al período histórico (o señal de cambio climático, ver Tabla 3), de forma absoluta** (diferencias entre las dos climatologías: futuro – histórico) y, para algunas variables, **de forma relativa** (diferencias relativas respecto del período histórico: $[\text{futuro-histórico}]/\text{histórico}$, en %). Por tanto, las unidades de las anomalías absolutas son las mismas que las de la variable original, mientras que las relativas se expresan en forma de porcentaje (porcentaje de cambio, o señal de cambio climático, respecto del valor histórico; por ejemplo un 20% menos de lluvia). La Tabla 3 muestra las opciones válidas para los distintos índices.

Cobertura geográfica

El visor muestra la información disponible de cada uno de los conjuntos de datos. En términos generales se dispone de información para España peninsular e islas Baleares y, en algunos conjuntos de datos, para Canarias. Los valores puntuales corresponden a las estaciones disponibles en todo el territorio que cumplen con los criterios de calidad aplicados. Tanto los datos observados en rejilla AEMet como los datos de EURO-CORDEX ajustados cubren todo el territorio excepto las islas Canarias.

Además, en una [versión anterior del visor](#) se pueden consultar los datos para el Principado de Andorra, tanto para observaciones puntuales como para las proyecciones de EURO-CORDEX (Datos en rejilla).

Tablas

En las siguientes tablas se detallan los **datos disponibles en el visor**. Aunque se ha pretendido construir un conjunto de datos lo más homogéneo posible para facilitar su intercomparación, en algunos casos no es posible por no existir los datos necesarios para ello. Las tablas consideradas son:

- **Tabla 1:** listado de las simulaciones consideradas indicando la disponibilidad de escenarios de emisión. Se especifica para cada simulación un código que servirá de referencia en tablas posteriores.
- **Tabla 2:** listado de las variables consideradas indicando su descripción y unidades. Igualmente, se especifica para cada una de ellas un código que servirá de referencia en tablas posteriores.
- **Tabla 3:** disponibilidad de variables para las distintas resoluciones espaciales, formas de representación y estaciones del año.

| Código | Fuente | Simulación | Escenarios | | |
|--------|-------------|---|------------|---------|---------|
| | | | Histórico | RCP 4.5 | RCP 8.5 |
| E1 | EURO-CORDEX | Media del conjunto (ensemble) | ✓ | ✓ | ✓ |
| E2 | EURO-CORDEX | CNRM-CERFACS-CNRM-CM5-CLMcom-CCLM4-8-17 | ✓ | ✓ | ✓ |
| E3 | EURO-CORDEX | CNRM-CERFACS-CNRM-CM5-CNRM-ALADIN53 | ✓ | ✓ | ✓ |
| E4 | EURO-CORDEX | CNRM-CERFACS-CNRM-CM5-SMHI-RCA4 | ✓ | ✓ | ✓ |
| E5 | EURO-CORDEX | CNRM-CERFACS-CNRM-CM5-DMI-HIRHAM5 | ✓ | | ✓ |
| E6 | EURO-CORDEX | CNRM-CERFACS-CNRM-CM5-IPSL-WRF381P | ✓ | | ✓ |
| E7 | EURO-CORDEX | CNRM-CERFACS-CNRM-CM5-GERICS-REMO2015 | ✓ | | ✓ |
| E8 | EURO-CORDEX | CNRM-CERFACS-CNRM-CM5-KNMI-RACMO22E | ✓ | ✓ | ✓ |
| E9 | EURO-CORDEX | ICHEC-EC-EARTH-CLMcom-CCLM4-8-17 | ✓ | ✓ | ✓ |
| E10 | EURO-CORDEX | ICHEC-EC-EARTH-SMHI-RCA4 | ✓ | ✓ | ✓ |
| E11 | EURO-CORDEX | ICHEC-EC-EARTH-KNMI-RACMO22E | ✓ | ✓ | ✓ |
| E12 | EURO-CORDEX | ICHEC-EC-EARTH-DMI-HIRHAM5 | ✓ | ✓ | ✓ |
| E13 | EURO-CORDEX | ICHEC-EC-EARTH-MOHC-HadREM3-GA7-05 | ✓ | | ✓ |
| E14 | EURO-CORDEX | ICHEC-EC-EARTH-CLMcom-ETH-COSMO-crCLIM-v1-1 | ✓ | | ✓ |
| E15 | EURO-CORDEX | ICHEC-EC-EARTH-IPSL-WRF381P | ✓ | | ✓ |
| E16 | EURO-CORDEX | ICHEC-EC-EARTH-DMI-HIRHAM5 | ✓ | | ✓ |
| E17 | EURO-CORDEX | ICHEC-EC-EARTH-ICTP-RegCM4-6 | ✓ | | ✓ |
| E18 | EURO-CORDEX | IPSL-IPSL-CM5A-MR-IPSL-WRF331P | ✓ | ✓ | ✓ |
| E19 | EURO-CORDEX | IPSL-IPSL-CM5A-MR-SMHI-RCA4 | ✓ | ✓ | ✓ |
| E20 | EURO-CORDEX | IPSL-IPSL-CM5A-MR-DMI-HIRHAM5 | ✓ | | ✓ |
| E21 | EURO-CORDEX | IPSL-IPSL-CM5A-MR-KNMI-RACMO22E | ✓ | | ✓ |
| E22 | EURO-CORDEX | IPSL-IPSL-CM5A-MR-GERICS-REMO2015 | ✓ | | ✓ |
| E23 | EURO-CORDEX | MOHC-HadGEM2-ES-CLMcom-CCLM4-8-17 | ✓ | ✓ | ✓ |
| E24 | EURO-CORDEX | MOHC-HadGEM2-ES-KNMI-RACMO22E | ✓ | ✓ | ✓ |
| E25 | EURO-CORDEX | MOHC-HadGEM2-ES-SMHI-RCA4 | ✓ | ✓ | ✓ |
| E26 | EURO-CORDEX | MOHC-HadGEM2-ES-DMI-HIRHAM5 | ✓ | ✓ | ✓ |
| E27 | EURO-CORDEX | MOHC-HadGEM2-ES-IPSL-WRF381P | ✓ | | ✓ |
| E28 | EURO-CORDEX | MOHC-HadGEM2-ES-CNRM-ALADIN63 | ✓ | | ✓ |
| E29 | EURO-CORDEX | MOHC-HadGEM2-ES-ICTP-RegCM4-6 | ✓ | | ✓ |
| E30 | EURO-CORDEX | MOHC-HadGEM2-ES-MOHC-HadREM3-GA7-05 | ✓ | | ✓ |
| E31 | EURO-CORDEX | MPI-M-MPI-ESM-LR-CLMcom-CCLM4-8-17 | ✓ | ✓ | ✓ |
| E32 | EURO-CORDEX | MPI-M-MPI-ESM-LR-SMHI-RCA4 | ✓ | | ✓ |
| E33 | EURO-CORDEX | MPI-M-MPI-ESM-LR-MPI-CSC-REMO2009 | ✓ | ✓ | ✓ |
| E34 | EURO-CORDEX | MPI-M-MPI-ESM-LR-KNMI-RACMO22E | ✓ | | ✓ |

| | | | | | |
|-----|---------------|--|---|---|---|
| E35 | EURO-CORDEX | MPI-M-MPI-ESM-LR-CNRM-ALADIN63 | ✓ | | ✓ |
| E36 | EURO-CORDEX | MPI-M-MPI-ESM-LR-DMI-HIRHAM5 | ✓ | | ✓ |
| E37 | EURO-CORDEX | MPI-M-MPI-ESM-LR-MOHC-HadREM3-GA7-05 | ✓ | | ✓ |
| E38 | EURO-CORDEX | MPI-M-MPI-ESM-LR-ICTP-RegCM4-6 | ✓ | | ✓ |
| E39 | EURO-CORDEX | MPI-M-MPI-ESM-LR-GERICS-REMO2015 | ✓ | | ✓ |
| E40 | EURO-CORDEX | NCC-NorESM1-M-DMI-HIRHAM5 | ✓ | ✓ | ✓ |
| E41 | EURO-CORDEX | NCC-NorESM1-M-GERICS-REMO2015 | ✓ | ✓ | ✓ |
| E42 | EURO-CORDEX | NCC-NorESM1-M-SMHI-RCA4 | ✓ | ✓ | ✓ |
| E43 | EURO-CORDEX | NCC-NorESM1-M-CNRM-ALADIN63 | ✓ | | ✓ |
| E44 | EURO-CORDEX | NCC-NorESM1-M-KNMI-RACMO22E | ✓ | | ✓ |
| E45 | EURO-CORDEX | NCC-NorESM1-M-MOHC-HadREM3-GA7-05 | ✓ | | ✓ |
| E46 | EURO-CORDEX | NCC-NorESM1-M-IPSL-WRF381P | ✓ | | ✓ |
| E47 | EURO-CORDEX | NCC-NorESM1-M-CLMcom-ETH-COSMO-crCLIM-v1-1 | ✓ | | ✓ |
| P1 | AEMET | Media del conjunto (ensemble) | ✓ | ✓ | ✓ |
| P2 | AEMET | ANALOGOS-IPSL-CM5A-MR | ✓ | ✓ | |
| P3 | AEMET | ANALOGOS-MIROC5 | ✓ | ✓ | ✓ |
| P4 | AEMET | ANALOGOS-MRI-CGCM3 | ✓ | ✓ | ✓ |
| P5 | AEMET | ANALOGOS-bcc-csm1-1 | ✓ | ✓ | ✓ |
| P6 | AEMET | ANALOGOS-bcc-csm1-1-m | ✓ | ✓ | ✓ |
| P7 | AEMET | SDSM-CSIRO-Mk3-6-0 | ✓ | | ✓ |
| P8 | AEMET | SDSM-IPSL-CM5A-MR | ✓ | ✓ | ✓ |
| P9 | AEMET | SDSM-MIROC-ESM-CHEM | ✓ | ✓ | ✓ |
| P11 | AEMET | SDSM-MIROC5 | ✓ | ✓ | ✓ |
| P12 | AEMET | SDSM-MRI-CGCM3 | ✓ | ✓ | ✓ |
| P13 | AEMET | SDSM-bcc-csm1-1-m | ✓ | ✓ | ✓ |
| O1 | AEMET | Observaciones puntuales: AEMET-OBS | ✓ | | |
| O2 | AEMET-UC-CSIC | Observaciones en rejilla: ROCIO_IBEB | ✓ | | |

Tabla 1: Listado de datos de Escenarios-PNACC 2017, incluyendo proyecciones regionales en rejilla con modelos regionales del clima (E1-E47) y puntuales con técnicas estadísticas (P1-P13), así como observaciones puntuales y en rejilla (O1-O2).

| Cód. | ETCCDI | Variable | Descripción | Tipo | Uds. |
|------|---------------------|--|--|-------------------|----------|
| T1 | TX | Temperatura mínima | Temperatura del aire a 2 metros sobre el suelo, mínima diaria | Variable original | °C |
| T2 | TN | Temperatura máxima | Temperatura del aire a 2 metros sobre el suelo, máxima diaria | Variable original | °C |
| T3 | FD, frost days | Nº de días con temperatura mínima < 0°C | Número de días de un periodo de tiempo cuya temperatura mínima se encuentra por debajo de los 0°C | Índice derivado | Días |
| T4 | TR, tropical nights | Nº de días con temperatura mínima > 20°C | Número de días de un periodo de tiempo cuya temperatura mínima se encuentra por encima de 20°C | Índice derivado | Días |
| T5 | TN90p(*) | Nº noches cálidas | Número de días en un periodo de tiempo cuya temperatura mínima supera el percentil 90 de un periodo climático de referencia | Índice derivado | Días |
| T6 | TX90p(*) | Nº días cálidos | Número de días en un periodo de tiempo cuya temperatura máxima supera el percentil 90 de un periodo climático de referencia | Índice derivado | Días |
| T7 | HWD(*) | Duración máxima de olas de calor | Duración máxima de una ola de calor en un periodo de tiempo. Una ola de calor se define como al menos 5 días consecutivos con temperaturas máximas por encima del percentil 90 de un periodo climático de referencia | Índice derivado | Días |
| T8 | | Grados días de refrigeración (Cooling Degree Days) | "Cooling degree days", definidos siguiendo la fórmula de Spinoni et al (2015) , utilizando un umbral de 26°C | Índice derivado | °C x día |
| T9 | | Grados días de calefacción (Heating Degree Days) | "Heating degree days", definidos siguiendo la fórmula de Spinoni et al (2015) , utilizando un umbral de 18°C | Índice derivado | °C x día |
| T10 | DTR | Amplitud térmica | Diferencia entre la temperatura máxima y mínima diarias | Índice derivado | °C |
| T11 | | Percentil 99 de la amplitud térmica diaria | Valor bajo el cual se encuentran el 99% de los valores de la amplitud térmica diaria de un periodo de tiempo | Índice derivado | °C |
| T12 | TXx | Temperatura máxima extrema | Máximo de las temperaturas máximas diarias en un periodo de tiempo | Índice derivado | °C |
| T13 | TNn | Temperatura mínima extrema | Mínimo de las temperaturas mínimas diarias en un periodo de tiempo | Índice derivado | °C |
| T14 | | Percentil 1 de la temperatura mínima diaria | Valor bajo el cual se encuentran el 1% de las temperaturas mínimas de un periodo de tiempo | Índice derivado | °C |
| T15 | TN5 | Percentil 5 de la temperatura mínima diaria | Valor bajo el cual se encuentran el 5% de las temperaturas mínimas de un periodo de tiempo | Índice derivado | °C |
| T16 | | Percentil 95 de la temperatura mínima diaria | Valor bajo el cual se encuentran el 95% de las temperaturas mínimas de un periodo de tiempo | Índice derivado | °C |
| T17 | | Percentil 5 de la temperatura máxima diaria | Valor bajo el cual se encuentran el 5% de las temperaturas máximas de un periodo de tiempo | Índice derivado | °C |
| T18 | TX95 | Percentil 95 de la temperatura máxima diaria | Valor bajo el cual se encuentran el 95% de las temperaturas máximas de un periodo de tiempo | Índice derivado | °C |
| T19 | | Percentil 99 de la temperatura máxima diaria | Valor bajo el cual se encuentran el 99% de las temperaturas máximas de un periodo de tiempo | Índice derivado | °C |
| P1 | PRCPTOT | Precipitación | Precipitación acumulada en un día, en cualquiera de sus formas (lluvia, nieve, granizo, etc.) | Variable Original | mm/día |
| P2 | | Nº de días con precipitación < 1mm | Número de días en un periodo de tiempo cuya precipitación es inferior a 1 mm | Índice derivado | Días |
| P3 | RR95 | Percentil 95 de la precipitación diaria | Valor bajo el cual se encuentran el 95% de los valores de precipitación diaria de un periodo de tiempo | Índice derivado | mm/día |
| P4 | Rx1day | Precipitación máxima en 24h | Valor más alto de precipitación diaria en un periodo de tiempo | Índice derivado | mm/día |
| P5 | CDD | Máximo Nº de días consecutivos con precipitación <1 mm | Número máximo de "días secos" consecutivos en un periodo de tiempo, esto es, días cuya precipitación no superó el umbral de 1 mm. | Índice derivado | Días |
| P6 | RO1mm | Nº de días de lluvia | Número de días en un periodo de tiempo cuya precipitación es superior o igual a 1 mm | Índice derivado | Días |
| P7 | CWD | Número máximo de días húmedos consecutivos | Número de días en un periodo de tiempo cuya precipitación es superior a 1 mm | Índice derivado | Días |

| | | | | | |
|----|--------|--|--|-----------------|--------|
| p8 | Rx5day | Precipitación máxima acumulada en 5 días | Máximo valor de precipitación acumulado en 5 días en un período de tiempo | Índice derivado | mm |
| S1 | | Evapotranspiración potencial | Evapotranspiración potencial calculada siguiendo una variante de la versión Hargreaves que utiliza la temperatura máxima, la mínima y la precipitación (Droogers and Allen 2002).. | Índice derivado | mm/mes |

Tabla 2: Listado de variables e índices considerados. Los códigos denotan si la variable/índice es del grupo de las temperaturas (T), precipitación (P), y Evaporación (S). La columna ETCCDI muestra el correspondiente código del índice estándar de extremos en los casos pertinentes; (*) denota los casos en los que el cálculo del índice no coincide exactamente con la [definición ETCCDI](#).

| Código | Resolución temporal | | Formas de representación | | |
|--------|---------------------|--------|--------------------------|----------|-------------------|
| | Anual | Diaria | Valor original | Anomalía | Anomalía relativa |
| T1 | ✓ | ✓ | ✓ | ✓ | |
| T2 | ✓ | ✓ | ✓ | ✓ | |
| T3 | ✓ | | ✓ | ✓ | |
| T4 | ✓ | | ✓ | ✓ | |
| T5 | ✓ | | ✓ | ✓ | |
| T6 | ✓ | | ✓ | ✓ | |
| T7 | ✓ | | ✓ | ✓ | |
| T8 | ✓ | | ✓ | ✓ | |
| T9 | ✓ | | ✓ | ✓ | |
| T10 | ✓ | | ✓ | ✓ | |
| T11 | ✓ | | ✓ | ✓ | |
| T12 | ✓ | | ✓ | ✓ | |
| T13 | ✓ | | ✓ | ✓ | |
| T14 | ✓ | | ✓ | ✓ | |
| T15 | ✓ | | ✓ | ✓ | |
| T16 | ✓ | | ✓ | ✓ | |
| T17 | ✓ | | ✓ | ✓ | |
| T18 | ✓ | | ✓ | ✓ | |
| T19 | ✓ | | ✓ | ✓ | |
| P1 | ✓ | ✓ | ✓ | ✓ | ✓ |
| P2 | ✓ | | ✓ | ✓ | ✓ |
| P3 | ✓ | | ✓ | ✓ | ✓ |
| P4 | ✓ | | ✓ | ✓ | ✓ |
| P5 | ✓ | | ✓ | ✓ | ✓ |
| P6 | ✓ | | ✓ | ✓ | ✓ |
| P7 | ✓ | | ✓ | ✓ | ✓ |
| P8 | ✓ | | ✓ | ✓ | ✓ |
| S1 | ✓ | ✓ | ✓ | ✓ | ✓ |

Tabla 3: Disponibilidad de variables por resolución temporal, y forma de representación.